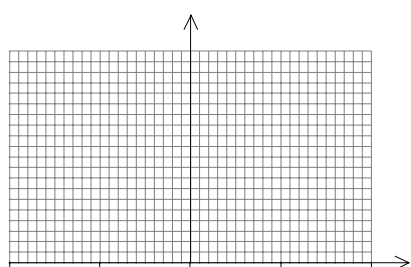


Таблица диаметров пятна рассеяния в различных положениях плоскости изображения

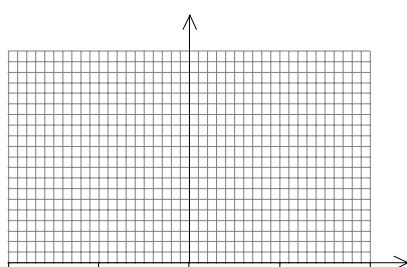
смещение плоскости изображения от плоскости Гаусса, мм	диаметр пятна рассеяния, мм		
	по поперечным aberrациям	по точечным диаграммам	по точечным диаграммам, содержащий 80% энергии
0			

Аберрации осевого пучка в плоскости наилучшей установки

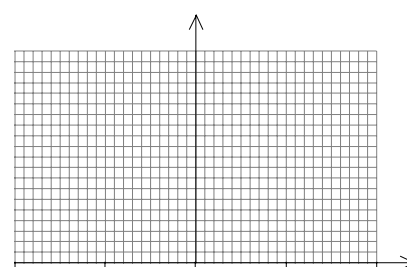
отн. зр. коор. $\rho$	Продольные aberrации $\Delta S'$ (мм)			хроматизм $S'_{F'} - S'_{C'}$	неизопл. $\eta$	Волновые aberrации $W$ (дл. волн)			зр. коор. $P_y$
	$\lambda_e$	$\lambda_{F'}$	$\lambda_{C'}$			$\lambda_e$	$\lambda_{F'}$	$\lambda_{C'}$	



волновая aberrация

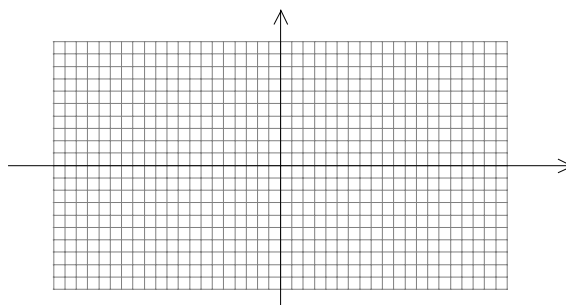


продольная aberrация



неизопланатизм

отн. зр. коор. $\rho$	Поперечные aberrации $\Delta y'$ (мм)		
	$\lambda_e$	$\lambda_{F'}$	$\lambda_{C'}$



поперечная aberrация